



# Brazilian Journal of OTORHINOLARYNGOLOGY

[www.bjorl.org](http://www.bjorl.org)



## RELATO DE CASO

# Extrusão percutânea espontânea de litíase de glândula parótida acessória<sup>☆</sup>

Alvaro Sánchez Barrueco <sup>a,\*</sup>, Beatriz Sobrino Guijarro <sup>b</sup>, Fernando González Galán <sup>a</sup> e Carlos Cenjor Español <sup>b</sup>

<sup>a</sup> Fundación Jiménez Diaz University Hospital, ENT and Cervicofacial Surgery Department, Madrid, Espanha

<sup>b</sup> Fundación Jiménez Diaz University Hospital, Radiology Department, Madrid, Espanha

Recebido em 27 de setembro de 2020; aceito em 9 de novembro de 2020

## Introdução

A glândula parótida acessória (GPA) está presente em 56% da população geral de acordo com Toh et al.<sup>1</sup> Embora as doenças da GPA sejam semelhantes às encontradas na glândula parótida principal, a presença de uma GPA não aumenta o risco de parotidite por si só.<sup>2</sup> Além disso, apesar dos relatos de lesões malignas da GPA na literatura, raramente a sialolitíase obstrutiva na GPA tem sido relatada.<sup>3–6</sup>

A principal característica clínica da sialolitíase da GPA é o aparecimento de edema localizado anteriormente à glândula parótida principal, especificamente ao comer.<sup>6</sup> Devido à localização da GPA, ela representa um potencial desafio diagnóstico para muitos médicos.

O objetivo deste artigo é relatar o primeiro caso publicado de sialolitíase de GPA com extrusão percutânea durante o período perioperatório e revisar as questões da literatura sobre doenças obstrutivas crônicas que afetam a GPA.

## Relato de caso

Uma paciente do sexo feminino de 91 anos foi admitida no pronto-socorro com edema de parótida anterior esquerda acima do osso da mandíbula ([fig. 1](#)). O exame físico da cavidade oral confirmou a presença de bloqueio do ducto de Stensen esquerdo e dor na área zigmática esquerda da face. A ultrassonografia das glândulas salivares mostrou grande dilatação do ducto de Stensen, com presença de litíase de 4 mm em uma potencial glândula acessória. O diagnóstico foi concluído com ressonância magnética após o protocolo de sialografia, que confirmaram a presença de alterações inflamatórias agudas e presença de litíase de 4 mm na GPA esquerda ([fig. 2](#)). Além disso, foi evidenciada a presença de estenose moderada do ducto principal, que levou a grave dilatação retrógrada do ducto de Stensen e alterações inflamatórias agudas da glândula parótida principal ([fig. 3](#)). Portanto, a paciente foi diagnosticada com sialadenite de GPA causada por sialolitíase.

DOI se refere ao artigo: <https://doi.org/10.1016/j.bjorl.2020.11.005>.

☆ Como citar este artigo: Barrueco AS, Guijarro BS, Galán FG, Español CC. Spontaneous percutaneous extrusion of an accessory parotid gland lithiasis. Braz J Otorhinolaryngol. 2021;87:758–60.

\* Autor para correspondência.

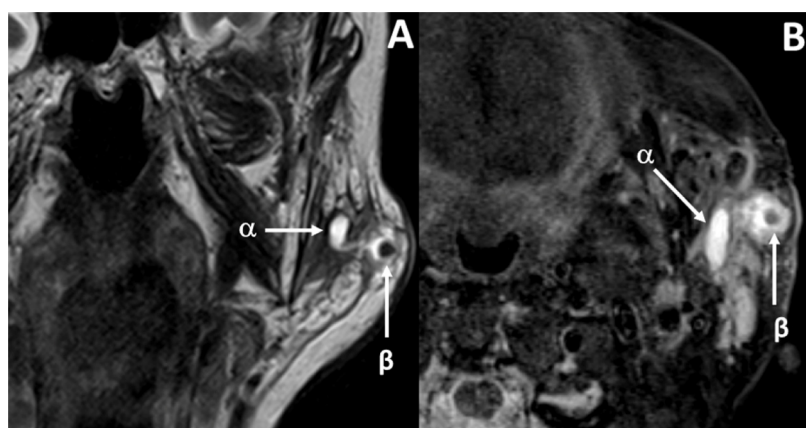
E-mail: [alvaro.sanchez.barrueco@gmail.com](mailto:alvaro.sanchez.barrueco@gmail.com)

(A. Sánchez Barrueco).

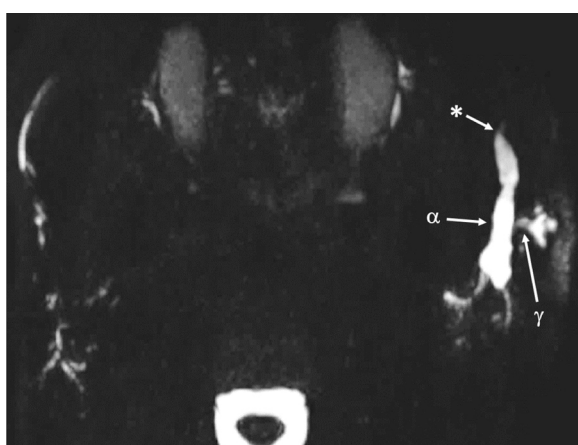
A revisão por pares é da responsabilidade da Associação Brasileira de Otorrinolaringologia e Cirurgia Cérvico-Facial.



**Figura 1** Edema da parótida anterior esquerda e mandíbula superior (imagem à esquerda) e úlcera cutânea com drenagem purulenta proveniente da glândula parótida acessória esquerda (imagem à direita).



**Figura 2** Imagem coronal ponderada em T2 (A) e imagem axial STIR (B) mostram uma lesão ovoide bem definida, com baixa intensidade de sinal, dentro do lobo parótideo acessório, consistente com um sialólito ( $\beta$ ) e dilatação significativa do ducto de Stensen ( $\alpha$ ).



**Figura 3** Reconstrução MIP de projeção axial de sialografia por RM em 3D, mostra a presença de pequenos ductos anteriores e laterais à glândula parótida esquerda que drenam para o ducto de Stensen principal ( $\alpha$ ), em conformidade com um lobo parótideo acessório. O ducto de Stensen mostra-se gravemente dilatado ( $\gamma$ ) secundário a um acentuado estreitamento distal (\*).

De acordo com a técnica descrita por Nahieli,<sup>7</sup> a extração percutânea da litíase sob anestesia local e sedação foi considerada, devido à idade da paciente.

Surpreendentemente, a paciente retornou ao serviço dois dias depois e citou ulceração cutânea progressiva no bucinador esquerdo com secreção purulenta (fig. 1). Diante desses achados no ambulatório, fizemos, sob anestesia local (articaína com epinefrina), o desbridamento e a retirada completa da litíase intraglandular esquerda da GPA, que media  $5 \times 3$  mm. Uma tira de gaze com terramicina foi colocada sobre o defeito cutâneo e prescreveu-se antibiótico oral (amoxicilina-clavulânico 875/125 mg a cada 8 horas, por 10 dias). Após 2 semanas, a ferida cutânea estava completamente cicatrizada e a sintomatologia da paciente havia cessado. Após um seguimento de 6 meses, a paciente estava assintomática e não havia sinais de sialoadenite obstrutiva crônica.

## Discussão

A GPA está localizada na área lateral da face atrás do processo zigomático, geralmente anterior à glândula parótida,

paralelo ao ducto de Stensen e superficial ao músculo masseter.<sup>8</sup> Ela pode estar situada na parte superior ou inferior do ducto de Stensen. Apesar de sua prevalência em mais de 50% dos seres humanos,<sup>1</sup> os distúrbios de GPA podem configurar um desafio diagnóstico quando sua existência é desconhecida pelos médicos.

O tecido glandular acessório, diferente da glândula parótida principal, apresenta ácinos serosos e mucosos.<sup>1</sup> Essa característica histopatológica revela falta de diferenciação da GPA. A glândula parótida principal mostra ácinos mistos<sup>9</sup> apenas na fase neonatal e os ácinos serosos são predominantes na idade adulta. Os ácinos mucosos são conhecidos por serem mais propensos à sialolitíase, como é o caso das glândulas submandibulares.<sup>10</sup> Assim, a presença de ácinos mucosos poderia justificar a predisposição da GPA em desenvolver sialolitíase.

Anteriormente, a literatura mostrou várias publicações que relatavam diferentes tumores originados na GPA. Entre os tumores benignos que a acometem, o adenoma pleomórfico é o mais comum. Já entre os tumores malignos, o carcinoma mucoepidermoide, linfoma, linfoepitelioma ou carcinoma de células acinares são os mais comuns.<sup>4</sup>

Há poucos artigos disponíveis sobre sialoadenite obstrutiva crônica que afeta especificamente a GPA causada pela sialolitíase.<sup>3-6</sup> Entretanto, um caso de extrusão cutânea espontânea de uma litíase de glândula parótida acessória não foi encontrado na literatura médica pesquisada.

Recentemente, foi postulada a possível participação da GPA no desenvolvimento de sialadenite parotídea.<sup>2</sup> A presença da GPA e o comprimento do ducto de Stensen junto com quaisquer cálculos dentro da glândula acessória<sup>3,5</sup> foram relacionados e são significativos para o desenvolvimento de parotidite.

Pacientes que apresentam sialolitíase de GPA comumente descrevem um inchaço da região anterior da parótida, geralmente ao comer, que pode envolver a glândula parótida principal. O diagnóstico clínico deve ser complementado com um estudo radiológico composto por ultrassonografia e/ou TC ou RM. Nos últimos anos, o uso da sialografia por ressonância magnética tem sido recomendado. As técnicas de ressonância magnética podem demonstrar com alta especificidade a presença de estenoses, cálculos minúsculos ou outras causas menos frequentes de obstrução,<sup>10</sup> enquanto pouparam o paciente da exposição à radiação associada a uma tomografia computadorizada.

O tratamento da sialolitíase de GPA ainda não foi padronizado devido à natureza incomum dessa condição clínica. A maioria dos autores preconiza o tratamento conservador como primeira etapa, com antibióticos orais e antiinflamatórios para a dor.<sup>6</sup> O tratamento cirúrgico é provavelmente mais apropriado quando os sintomas reaparecem após a

fallha do tratamento clínico. A abordagem cirúrgica recomendada para a retirada da GPA e de sua litíase<sup>4,5</sup> é através de uma incisão de parotidectomia e dissecção anterior à glândula parótida para alcançar a GPA. Por outro lado, uma abordagem transoral com microscópio e com monitoração rigorosa do nervo facial<sup>3</sup> também pode ser considerada.

## Conclusão

A glândula parótida acessória pode apresentar sialadenite obstrutiva crônica relacionada à sialolitíase. O conhecimento da presença da glândula parótida acessória deve ser disseminado para que os médicos possam fazer o diagnóstico e tratamento precoces e, em última instância, evitar complicações associadas, como ulceração da pele facial e extrusão da litíase.

## Conflitos de interesse

Os autores declaram não haver conflitos de interesse.

## Referências

1. Toh H, Kodama J, Fukuda J, Rittman B, Mackenzie I. Incidence and histology of human accessory parotid glands. *Anat Rec.* 1993;236:586-90.
2. Bahadir O, Caylan R, Bektas D, Korkmaz O. Sialolithiasis of an accessory parotid gland. *Ann Otol Rhinol Laryngol.* 2004;113:52-4.
3. Debnath SC, Adhyapok AK. Sialolithiasis of an accessory parotid gland: an unusual case. *Br J Oral Maxillofac Surg.* 2015;53:658-9.
4. Kim JH, Kim MB, Chang SW, Kang JW. Sialolithiasis of an Accessory Parotid Gland Causing Mid-Cheek Pain. *J Craniofac Surg.* 2017;28:e216-7.
5. Nahlieli O, London D, Zagury A, Eliav E. Combined approach to impacted parotid stones. *J Oral Maxillofac Surg.* 2002;60:1418-23.
6. De Riu G, Meloni SM, Massarelli O, Tullio A. Management of mid-cheek masses and tumors of the accessory parotid gland. *Oral Surg Oral Med Oral Pathol Oral Radiol Endod.* 2011;111:e5-11.
7. Takeishi J. Histochemical studies on the salivary glands of the human fetus. *Shikwa Gakuho.* 1966;66:1073-102.
8. Ho V, Currie WJ, Walker A. Sialolithiasis of minor salivary glands. *Br J Oral Maxillofac Surg.* 1992;30:273-5.
9. Stenner M, Preuss SF, Huttenbrink KB, Klussmann JP. Accessory parotid gland lesions: case report and review of literature. *Eur Arch Otorhinolaryngol.* 2008;265:1135-8.
10. Sobrino-Guijarro B, Cascarini L, Lingam RK. Advances in imaging of obstructed salivary glands can improve diagnostic outcomes. *Oral Maxillofac Surg.* 2013;17:11-9.